

ведливо как для быстрых колебаний (период колебаний меньше склонового времени), так и для медленных [7, 8]. Решения, когда магнитное давление мало по сравнению с газокинетическим (электрическая дуга), возможны при $q_J \ll 1$ (фиг. 1.1, 2.1). Решения, соответствующие самосжатому разряду как оторванному от стенок (фиг. 2.4), так и разряду, часть давления плазмы в котором удерживается стенками (фиг. 1.3 и фиг. 2.3), осуществляются для данных значений температуры и плотности на оси разряда лишь при определенных величинах электрического поля. В остальных случаях решение имеет колебательный характер (на фиг. 1.2 и фиг. 2.2), однако плазменный столб с таким распределением температуры и давления неустойчив.

Найденные решения лишь иллюстрируют различные типы равновесных распределений температуры и давления для разрядов с большой плотностью. Для корректности решения задачи равновесия в разряде необходимо было бы учитывать зависимость коэффициента теплопроводности от магнитного поля [3] и перенос энергии диссоциации и ионизации [4]. Однако первое ограничение несущественно, так как качественно характер решения не зависит от вида $\kappa(T, H)$, а второе имеет значение только в области, где температура меньше температуры ионизации.

Поступила 25 II 1970

ЛИТЕРАТУРА

- Пиз Р. С. Равновесные характеристики сжатого газового разряда, охлаждаемого тормозным излучением. В кн. «Управляемые термоядерные реакции», М., Атомиздат, 1960.
- Alfrey H., Smars E. Gas insulation of a hot plasma. Nature, 1960, vol. 188, No. 4753.
- Алиханов С. Г., Иванова С. П. Распределение температуры и плотности в высокотемпературной стационарной дуге. Ж. техн. физ., 1960, т. 35, вып. 3.
- Vergboom G. K. The energy balance of an arc discharge in hydrogen gas. Plasma physics, 1969, vol. 11, No. 11.
- Каплан С. А., Пикельнер С. Б. Межзвездная среда. М., Физматгиз, 1963.
- Alikhannov S. G., Konkashbaev I. K., Chebotarev P. Z. The energy balance in a dense fusion plasma contained by walls. Nuclear fusion, 1970, vol. 10, No. 1.
- Кадомцев Б. Б. Гидромагнитная устойчивость плазмы. В сб. «Вопросы теории плазмы», вып. 2, М., Атомиздат, 1963.
- Конкашбаев И. К. Об одном виде токовой неустойчивости плазмы конечной проводимости. ПМТФ, 1970, № 2.

УДК 533.7

ОБ АНАЛИТИЧЕСКОМ РЕШЕНИИ УРАВНЕНИЯ БОЛЬЦМАНА В КНУДСЕНОВСКОМ СЛОЕ

М. М. Кузнецов

(Москва)

Известно, что определение точных граничных условий для уравнений гидродинамики связано с решением кинетического уравнения Больцмана в кнудсеновском слое [1-4].

В этом слое функцию распределения можно искать в виде суперпозиции энскоговой функции и функции, удовлетворяющей линеаризованному уравнению Больцмана [4].

Покажем это, используя метод сращиваемых асимптотических разложений [5].

Рассмотрим течение в пограничном слое [6]. Безразмерное уравнение Больцмана имеет следующий вид:

$$\sqrt{K} c_y \frac{\partial f}{\partial y} + K c_x \frac{\partial f}{\partial x} = J(f, f) \quad (1)$$

Здесь $K = l/L$ — число Кнудсена, $K \ll 1$, l — длина свободного пробега, L — характерный размер тела, c — скорость молекулы

$$J(f, f) = \int (f' f_1' - f f_1) g b db de d\mathbf{c}_1$$

В кнудсеновском слое введем преобразование нормальной координаты y

$$y_1 = y/\sqrt{K} \quad (2)$$

Тогда получим

$$c_y \frac{\partial f}{\partial y_1} + K c_x \frac{\partial f}{\partial x} = J(f, f) \quad (3)$$

Предположим, что при $y_1 = 0$ функция f удовлетворяет диффузному закону отражения молекул от стенки

$$f H(c_y) = (n_w/\pi^{3/2}) e^{-c^2} \quad (4)$$

Здесь $H(c_y)$ — функция Хэвисайда

$$H(c_y) = 1, \quad c_y > 0; \quad H(c_y) = 0, \quad c_y < 0$$

Решение в обеих областях ищем в виде рядов по \sqrt{K} . Внешнее разложение

$$F(x, y, c) = F^{(0)} + \sqrt{K} F^{(1)} + \dots \quad (5)$$

Внутреннее разложение

$$f(x, y_1, c) = f^{(0)} + \sqrt{K} f^{(1)} + \dots \quad (6)$$

Найдем условия сращивания для разложений (5) и (6)

$$f^{(0)}(y_1 \rightarrow \infty) = F^{(0)}(x, 0, c) \quad (7)$$

$$f^{(1)}(y_1 \rightarrow \infty) = F^{(1)}(x, 0, c) + y_1 (\partial F^{(0)}/\partial y) \quad (8)$$

Для функции $f^{(0)}$ получим уравнение

$$c_y (\partial f^{(0)}/\partial y_1) = J(f^{(0)}, f^{(0)}) \quad (9)$$

Это уравнение с граничными условиями (4) и (7) имеет единственное решение [7]

$$f^{(0)} = F^{(0)}(x, 0, c) = (n_w/\pi^{3/2}) e^{-c^2} \quad (10)$$

В следующем приближении для функции $f^{(1)}$ имеем

$$c_y (\partial f^{(1)}/\partial y_1) = J(f^{(0)}, f^{(1)}) + J(f^{(1)}, f^{(0)}) \quad (11)$$

Введем суперпозицию

$$f^{(1)} = F^{(1)}(x, 0, c) + y_1 (\partial F^{(0)}/\partial y) + f^{(0)} \varphi(x, y_1, c) \quad (12)$$

Тогда получим

$$c_y (\partial \varphi / \partial y_1) = \int f_1^{(0)} (\varphi' + \varphi_1' - \varphi - \varphi_1) g b db de d\mathbf{c}_1 \quad (13)$$

$$\varphi(y_1 \rightarrow \infty) = 0, \quad f^{(0)} \varphi(x, 0, c) H(c_y) = -F^{(1)}(x, 0, c) \quad (14)$$

Из уравнения второго приближения для внешнего потока получим, что

$$F^{(1)}(x, 0, c) = f^{(0)}(\varphi_\theta(0) + n^{(1)}(0) + c u^{(1)}(0) T^{(1)}(c^2 - 3/2)) \quad (15)$$

Здесь φ_θ — функция Эпскога [8].

Линеаризованное уравнение Больцмана (13) с граничными условиями (14) имеет единственное решение [9]. Численный результат получен в [10].

Рассмотрим приближенный метод разложения функции (для течения со скольжением) по полупространственным полиномам от скоростей [11–14]

$$\varphi = \varphi^+ \left(\frac{1 + \operatorname{sign} c_y}{2} \right) + \varphi^- \left(\frac{1 - \operatorname{sign} c_y}{2} \right), \quad \varphi^\pm = a_0^\pm(y_1) c_x + a_1^\pm(y_1) c_x c_y \quad (16)$$

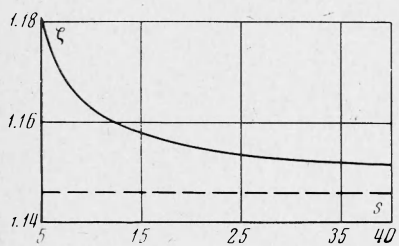
После интегрирования уравнения (13) по скоростям получим систему уравнений с постоянными коэффициентами [14]

$$\begin{aligned} \pm \frac{da_0^\pm}{dy_1} + \frac{\sqrt{\pi}}{2} \frac{da_1^\pm}{dy_1} &= \pm (a_0^+ - a_0^-) \frac{I_1}{\pi} \pm (a_1^+ + a_1^-) \frac{I_2}{\pi} \\ \frac{da_0^\pm}{dy_1} \frac{\sqrt{\pi}}{2} \pm \frac{da_1^\pm}{dy_1} &= (a_0^+ - a_0^-) \frac{I_2}{\pi} + (a_1^+ + a_1^-) \frac{I_3}{\pi} \pm (a_1^+ - a_1^-) \frac{I_4}{\pi} \end{aligned} \quad (17)$$

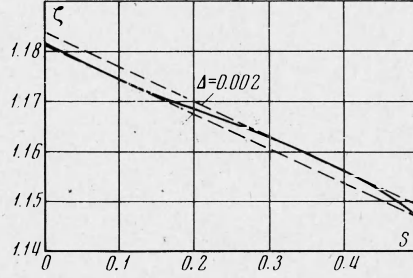
Решение системы (17), удовлетворяющее условиям (14), имеет вид

$$a_0^\pm = b_0^\pm e^{-\alpha y_1}, \quad a_1^\pm = b_1^\pm e^{-\alpha y_1} \quad (18)$$

Постоянные b_0^\pm , b_1^\pm определяются из граничных условий, $\alpha > 0$ находится из системы (17).



Фиг. 1



Фиг. 2

На внешней границе кнудсеновского слоя ($y_1 \rightarrow \infty$) решение непрерывно. Это является следствием соотношения (12).

Таким образом, использование метода полупространственных моментных разложений здесь будет корректным (см. [11–13]).

Значения величин I_1 – I_4 для молекул в виде твердых сфер получены аналитически в работе [4].

Предложенный способ вычислений можно распространить на более широкий класс потенциалов.

В частности, для степенного закона взаимодействия

$$P = \kappa / r^s \quad (19)$$

можно показать, что

$$I_j = I_j(S), \quad S = \frac{s-5}{2(s-1)}$$

Например

$$\begin{aligned} I_2(S) &= [c_x \operatorname{sign} c_y, c_x c_y] = -\frac{J_2(S)}{4 \sqrt{2} \Gamma(1-S)} \frac{\pi}{\lambda} \\ \lambda &= \frac{2\mu}{\rho V} = \frac{(kT/\kappa)^{2/(s-1)}}{2^{s+1} n \pi A_2(s)}, \quad A_2(s) = \int_0^\infty (1 - \cos^2 \chi) \rho d\rho \end{aligned} \quad (20)$$

Здесь Γ — гамма-функция

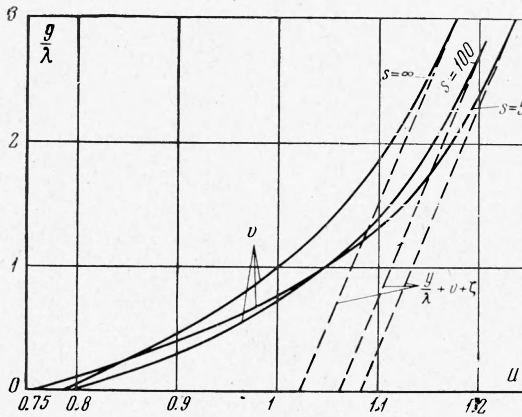
$$J_2(S) = \int_0^1 \frac{\frac{3}{2} + (2-t)(6+3S)}{t^S (2-t)^{3/2}} (1-t)^{S+3/2} dt$$

Значения I_1, I_2, I_3, I_4 определялись численным интегрированием (для $s = 5-100$).
Вид зависимости коэффициента скольжения $\zeta(s)$

$$u^{(1)} = \zeta(s) \lambda \frac{\partial u^{(0)}}{\partial y} \quad (21)$$

показан на фиг. 1. Расчет проведен с точностью до 0.2%.

На фиг. 2 показана зависимость $\zeta(s)$. Видно, что в пределах точности вычислений зависимость $\zeta(S)$ близка к линейной. Значения $\zeta(S)$ для $S=0$ и $S=0.5$ близки к полученным ранее результатам [11, 13, 14].



Фиг. 3

На фиг. 3 показан профиль скорости в кнудсеновском слое

$$U = y/\lambda + v(s) e^{-\alpha y} + \zeta(s), \quad u = U\lambda (\partial u / \partial y), \quad s = 5, 100, \infty$$

Для установления сходимости метода целесообразно рассмотреть несколько более высоких приближений для φ^\pm .

Значения $I_1(S) - I_4(S)$ могут быть использованы в других линейных задачах (например, течение Куэтта, Пуазейля).

Поступила 21 XII 1970

ЛИТЕРАТУРА

- Жигулев В. Н., Кузнецов В. М. Некоторые проблемы физической аэrodинамики. Тр. ЦАГИ, 1969, вып. 1136, стр. 3-23.
- Коган М. Н. Динамика разреженного газа. М., «Наука», 1967, стр. 315-344.
- Dagrozes J. S. Approximate solutions of the Boltzman equation for flow past bodies of moderate curvature. Rarefied gas dynamics, vol. 1, New York — London, Acad. Press., 1969, pp. 111-120.
- Дерягин Б. В., Ивченко И. Н., Яламов Ю. И. О построении решений кинетического уравнения Больцмана в слое Кнудсена. Изв. АН СССР, МЖГ, 1968, № 4, стр. 167-172.
- Ван-Дайк М. Методы возмущений в механике жидкости. М., «Мир», 1967, стр. 108-133.
- Жигулев В. Н. Об уравнениях движения неравновесной среды с учетом излучения. Инж. ж., 1964, т. 4, вып. 3, стр. 431-438.
- Giraud J. P. Kinetic theory and rarefied gas dynamics. Rarefied gas dynamics, vol. 1, New York — London, Acad. Press., 1967, pp. 289-314.
- Чепмен С., Каулинг Т. Математическая теория неоднородных газов. М., Изд-во иностр. лит., 1960.
- Dagrozes J. S., Giraud J. P. Theorie cinétique des gaz. C. r. Acad. Sci., Ser. A, 1966, vol. 262, No. 24.
- Горелов С. Л., Коган М. Н. Решение линейных задач динамики разреженного газа методом Монте-Карло. Изв. АН СССР, МЖГ, 1968, № 6, стр. 136-139.

11. Баканов С. П., Дерягин Б. В. К вопросу о состоянии газа, движущегося вблизи твердой поверхности. Докл. АН СССР, 1961, т. 139, № 1, стр. 71.
12. Циринг С. Течение газа вблизи твердой поверхности. Ракетная техника и космонавтика, 1963, № 3, стр. 148—153.
13. Ивченко И. Н., Яламов Ю. И. Кинетическая теория течения газа, находящегося над твердой стенкой в поле градиента скорости. Изв. АН СССР, МЖГ, 1968, № 6, стр. 139—143.
14. Gross E. P., Ziering S. Kinetic theory of linear shear flow. Phys. Fluids, 1958, vol. 1, No. 63, p. 215.

УДК 532.54

К ВОПРОСУ О ТЕЧЕНИИ И ГИДРАВЛИЧЕСКОМ СОПРОТИВЛЕНИИ ЖИДКОСТЕЙ С ПЕРЕМЕННОЙ ВЯЗКОСТЬЮ

A. V. Купавцев

(Москва)

В химической, нефтеперерабатывающей и пищевой промышленностях, в медицине широко используются жидкости со структурной вязкостью, характеризуемые реологической кривой, представленной на фиг. 1. В работе [1] предлагается методика описания реологических свойств таких сред и показывается целесообразность выделения класса этих жидкостей с линейным законом текучести в области напряжений, близких к τ_1 .

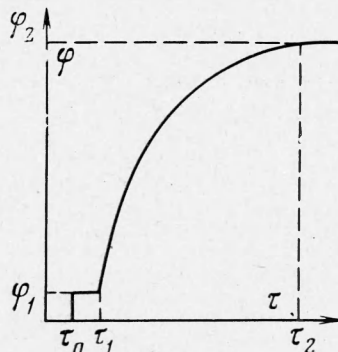
На практике также имеют место течения рассматриваемых жидкостей в области напряжений, приближающихся к τ_2 , когда наблюдается постепенный переход к режиму движения среды с наибольшей практически постоянной текучестью φ_2 . Так, следует ожидать подобный характер течения крови в кровеносной системе человека и животных при понижении давления и других патологических состояниях [2].

1. Обозначим через τ_2 значение напряжения сдвига такое, что при $\tau > \tau_2$ движение среды можно считать происходящим с постоянной текучестью φ_2 . Аппроксимируем участок реологической кривой, примыкающий к τ_2 , логарифмической функцией, являющейся обратной экспоненциальной зависимости, предложенной в [1]

$$\varphi_* = 0, \quad \tau \geq \tau_2, \quad \varphi_* = \ln \tau_*, \quad \tau \leq \tau_2 \quad (1.1)$$

где τ_* и φ_* — безразмерные комплексы

$$\tau_* = \frac{\tau - \tau_1}{\tau_2 - \tau_1}, \quad \varphi_* = \frac{1}{\theta} \frac{\varphi - \varphi_2}{\tau_2 - \tau_1}$$



Фиг. 1

(θ — мера структурной устойчивости жидкости) составлены так, чтобы удовлетворить соотношению (1.1) при $\tau = \tau_2$. Поведение этих величин при $\tau \rightarrow \tau_1$ может не рассматриваться, так как предлагаемая здесь точка зрения относится к области τ_* , близких к единице.

Для структурированных жидкостей с линейным законом текучести в области τ , близких к τ_2 , получаем простое реологическое уравнение $\varphi = \varphi_2 - \theta(\tau_2 - \tau)$, в которое вошли величины, характеризующие рассматриваемый верхний участок кривой течения.

2. Рассмотрим ламинарное изотермическое течение исследуемой жидкости со структурной вязкостью в цилиндрическом круговом канале радиуса R с жесткими стенками. Такой случай течения может наблюдаться, например, при движении крови в сосудах с неизменяющимся просветом (склерозированные сосуды).